

Πρακτικά	3ου Συνέδριου	Μάϊος 1986
Δελτ. Ελλ. Γεωλ. Εταιρ.	Τομ. XX/2 Vol.	σελ. 449-470 pag.
Bull. Geol. Soc. Greece		Αθήνα 1988 Athens

**ΜΙΑ ΠΙΘΑΝΗ ΗΦΑΙΣΤΕΙΟΙΖΗΜΑΤΟΓΕΝΗΣ ΠΡΟΕΛΕΥΣΗ
ΓΝΕΥΣΙΑΚΩΝ ΠΕΤΡΩΜΑΤΩΝ ΑΠΟ ΤΗΝ ΠΕΡΙΟΧΗ
ΚΟΥΡΛΟΥ ΤΗΣ Ν. ΘΑΣΟΥ, Β. ΕΛΛΑΔΑ***

Σ. ΚΑΛΟΓΕΡΟΠΟΥΛΟΣ**, Ν. ΕΠΙΤΡΟΠΟΥ***, A. SCHMITT

A B S T R A C T

Quartzfeldspathic gneisses represent a significant part of the stratigraphy of the Thassos island, where banded oxide iron-manganese formations as well as lead-zinc sulphide occurrences are present. Gneisses from the Kourlou area of Thassos were examined by utilizing their geochemical characteristics whether or not their protoliths were sedimentary or igneous. Application of certain criteria lead us to the conclusion that these rocks have volcanic and / or sedimentary origin.

ΠΕΡΙΔΗΨΗ

Χαλαζιοαστριακοί γνεύσιοι αποτελούν ένα σημαντικό τμήμα στη στρωματογραφία της νήσου Θάσου όπου εντοπίζονται εστρωμένοι ορίζοντες οξειδίων του σιδήρου-μαγγανίου και θειούχες εμφανίσεις μολύβδου-ψευδαργύρου. Γνεύσιοι από την περιοχή Κουρλούς της Θάσου εξετάσθηκαν με βάση τα γεωχημικά τους χαρακτηριστικά για το αν η φύση των πρωτολιθών ήταν κύρια ιζηματογενής ή εκρηκτιγενής. Η εφαρμογή ορισμένων κριτηρίων οδήγησε στο συμπέρασμα ότι τα γνεύσια αυτά πετρώματα προέκυψαν από πρωτόλιθους ηφαιστειακής ή / και ιζηματογενούς φύσης.

* A Possible Volcanosedimentary
Origin of Quartzfeld-spathic
Gneisses from the Kourlou Area

** ΙΓΜΕ Μεσογείων 70, Αθήνα
IGME 70, Messoghion, Athens

*** ΙΓΜΕ, Παράρτημα Ξάνθης, Ξάνθη
IGME, Xanthi Branch, Xanthi

Ε Ι Σ Α Γ Ω Γ Η

Η αποκωδικοποίηση του αρχικού χαρακτήρα χαλαζιοαστριούχων γνευσίων σε έντονα μεταμορφωμένα συστήματα είναι πραγματικά ένα δύσκολο πρόβλημα. Αυτό είναι και η κύρια αιτία που μέχρι πρόσφατα τέτοιες προσπάθειες στον Ελλαδικό χώρο αποτελούσαν μιά σπάνια ευτυχή έκπληξη. Ωστόσο, τα τελευταία τρία χρόνια στο Ινστιτούτο Γεωλογικών και Μεταλλευτικών Ερευνών γίνεται μιά σοβαρή προσπάθεια πρόσδιορισμού των πρωτολίθων σε έντονα μεταμορφωμένα συστήματα, ξεφεύγοντας από την *a priori* παραδοχή ότι οι χαλαζιοαστριούχων γνεύσιοι είναι παραπετρώματα, όπως συνέβαινε πρίν είκοσι περίπου χρόνια, στην παγκόσμια γεωλογική κοινότητα.

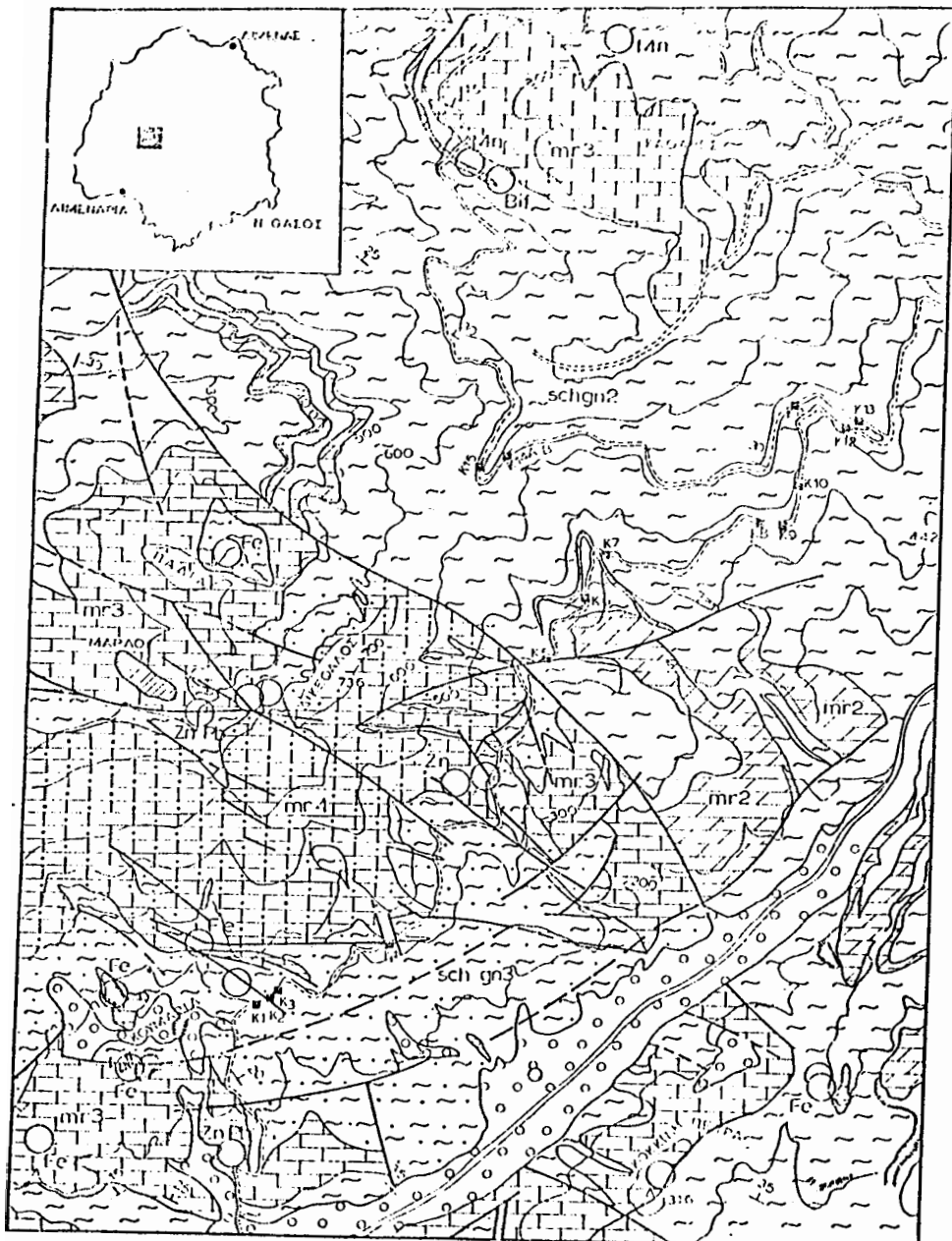
Οι Garrels and Mackenzie (1971), Shaw (1972), Van de Kamp et al (1976), Stamatelopoulou- Seymour and Maclean (1977) και Prabhu and Webber (1984), παρουσίασαν ή αξιοποίησαν, με αντίστοιχη κριτική αξιολόγηση μια σειρά κριτηρίων διάκρισης (discrimination criteria), του χαρακτήρα των πρωτόλιθων των πετρωμάτων που αναφέρονται παραπάνω και που βασίζονται στο χημισμό τους.

Η ταινιωτή φύση και η ορυκτολογική σύσταση των χαλαζιακούριούχων γνεύσιων υποδηλώνει τους παρακάτω δύο πρωτόλιθους:

1. γραουβάκης ή/και άλλα ψαμμιτικά πετρώματα, ή
2. όξινα ηφαιστειακά (λάβες ή τόφφοι).

Η αποκωδικοποίηση των πρωτόλιθων τέτοιων πετρωμάτων, ιδιαίτερα σε περιπτώσεις που συνυπάρχουν με μεταλλεύματα που παρουσιάζουν μεταμορφικούς χαρακτήρες (π.χ οξείδια σιδήρου και/η μαγγανίου, θειούχα κ.λ.π.), μπορεί να παίξει καταλυτικό ρόλο στον προσανατολισμό της έρευνας εντοπισμού κοιτασμάτων για συγκεκριμένο τύπο μεταλλοφορίας.

Η ύπαρξη ταινιωτών Fe-Mn-ούχων σχηματισμών υδροθερμικής προέλευσης (Καλογερόπουλος κ.α., 1986), κύρια στην επαφή γνευσίων μαρμάρων, αμφιβολιτών (Θεοφιλόπουλος, 1982) και χαλαζιοαστριούχων γνεύσιων υποδηλώνει την πιθανή ύπαρξη όξινων μεταηφαιστειακών στην στρωματογραφία του μεταμορφωμένου συστήματος της νήσου Θάσου (Εικ.1).



Εικ. 1. Κατανομή δειγμάτων γνευστακών πετρωμάτων από την περιοχή Κουρλού της Ν.Θάσου (Ρωμιόδης, 1983).

Fig. 1. Distribution of samples from gneissic rocks of the Kourlou area, island of Thassos (Romaidis, 1983).

Δειγματοληψία

Ένας αριθμός 16 δειγμάτων, εκ των οποίων δύο αμφιβολίτες αποτέλεσαν τη βάση για την αποκαδικοποίηση του προμεταμορφικού τους χαρακτήρα. Οι θέσεις της δειγματοληψίας δίνονται στην Εικ. 1

Αναλύσεις

Τα κύρια στοιχεία και τα ιχνοστοιχεία 12 δειγμάτων έγιναν με ατομική απορρόφηση στο χημείο του I.G.M.E., Παραρτήματος Ξάνθης. Τα υπόλοιπα τέσσερα αναλύθηκαν από τον Δρ. Π. Μητρόπουλο, στου Γεωλογικού Τμήματος του Πανεπιστημίου Αθηνών, με X R F στο Πανεπιστήμιο Birmingham. Ο Πίνακας 1 παρουσιάζει τα αποτελέσματα των αναλύσεων.

Η ορυκτολογική μελέτη των δειγμάτων έγινε από την Δρ. A. Schmidtt, ενώ οι ορυκτοχημικές αναλύσεις σε επιλεγμένα δείγματα έγιναν από τον Δρ. Γ. Οικονόμου. Τα αποτελέσματα των δύο παραπάνω μελετών συνοψίζονται στον Πίνακα 2 και στις Εικόνες 2,3,4 και 5. Οι ορυκτοχημικές αναλύσεις δίνονται συνολικά στους πίνακες του παραρτήματος "A".

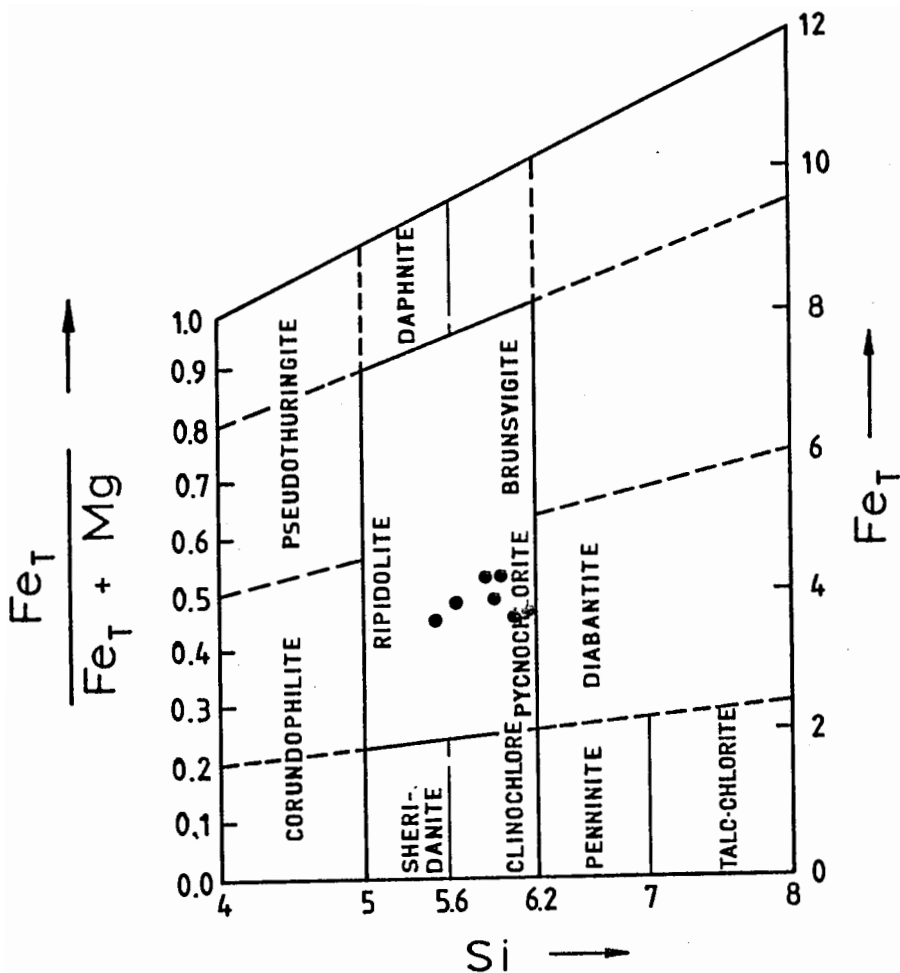
Πίνακας 1. Επιμέρους διανομής περιπάτων σε κύρια (πεζός) και αυτοκίνητα (αυτοκίνητα μεταφορέα) (ΕΠΕΝ)

	κ_1	κ_2	κ_3	κ_4	κ_5	κ_6^1	κ_7	κ_8	κ_9	κ_{10}	κ_{12}	κ_{13}	κ_{16}	κ_{18}	κ_{19}	κ_{21}	κ_{23}
SiO ₂	72.50	73.40	52.57	54.13	45.00	67.67	72.40	74.30	96.50	75.50	75.00	73.60	74.50	82.00	52.57	68.00	
TiO ₂	0.25	0.25	1.07	1.20	0.25	0.70	0.25	0.25	0.25	0.25	0.57	0.25	0.25	0.25	1.45	0.25	
Al ₂ O ₃	14.80	11.80	18.00	16.76	12.00	15.06	13.30	14.00	2.10	14.00	15.50	15.50	13.70	8.95	16.76	7.50	
Fe ₂ O ₃	3.00	1.60	9.15	9.59	5.30	5.06	2.00	1.70	0.85	1.70	1.85	1.70	1.85	1.00	12.68	0.55	
MnO	0.03	0.06	0.14	0.14	0.10	0.15	0.05	0.05	0.05	0.05	0.04	0.05	0.04	0.02	0.03	0.45	
Na ₂ O	1.05	0.45	5.91	4.59	0.55	1.19	0.70	0.65	0.20	0.60	0.75	0.70	0.50	2.28	4.00		
CaO	1.55	0.50	9.73	7.13	0.50	2.71	1.05	1.00	0.25	0.45	1.35	0.50	1.15	0.25	2.95	7.50	
K ₂ O	4.45	4.85	5.32	4.93	3.15	5.97	-3.35	2.10	0.10	3.80	4.20	3.20	4.45	0.50	1.47	0.35	
R ₂ O	2.15	3.00	0.21	0.70	3.45	2.74	4.10	4.60	0.60	3.25	2.65	5.20	3.70	5.30	9.63	5.50	
TiO ₃	0.05	0.31	0.21	0.23	0.23	1.57	0.74	12.21	0.39	1.37	0.85	0.85	0.65	0.55	0.45	0.45	
Ca	21	10	11	33	6	3	4	20	12	16	5	5	0	4	4	2	
Na	5	4	8	2	5	9	7	7	20	10	6	4	0	5	7	5	
SiO ₂	49.9	75	77.6	77.4	50.9	82.6	82.4	20.6	75.7	72.2	82.6	72.2	15.3	77.7	15.5		
Al ₂ O ₃	3.7	2.2	10.6	10.6	11.0	17.4	17.4	17.4	17.4	17.4	17.4	17.4	17.4	17.4	221.7	30.3	
Fe ₂ O ₃	24.1	25.0	39.8	39.8	211.0	155.1	147.9	177.4	177.4	177.4	177.4	177.4	177.4	177.4	177.4	168.3	
MnO	5.5	14.9	71.9	71.9	9.3	4.4	2.5	9.3	9.3	9.3	9.3	9.3	9.3	9.3	9.3	7.0	
CaO	18.0	17.2	19.2	19.2	19.2	16.8	22.0	4.8	4.8	4.8	4.8	4.8	4.8	4.8	4.8	21.2	
K ₂ O	31.0	50.9	33.5	33.5	346.9	292.0	261.9	432.4	432.4	432.4	432.4	432.4	432.4	432.4	432.4	31.0	
R ₂ O	16.4	8.8	25.5	25.5	31.0	13.0	9.0	17.6	17.6	17.6	17.6	17.6	17.6	17.6	17.6	15.0	

Ψηφιακή Βιβλιοθήκη "Θεόφραστος" - Τμήμα Γεωλογίας, Α.Π.Θ.

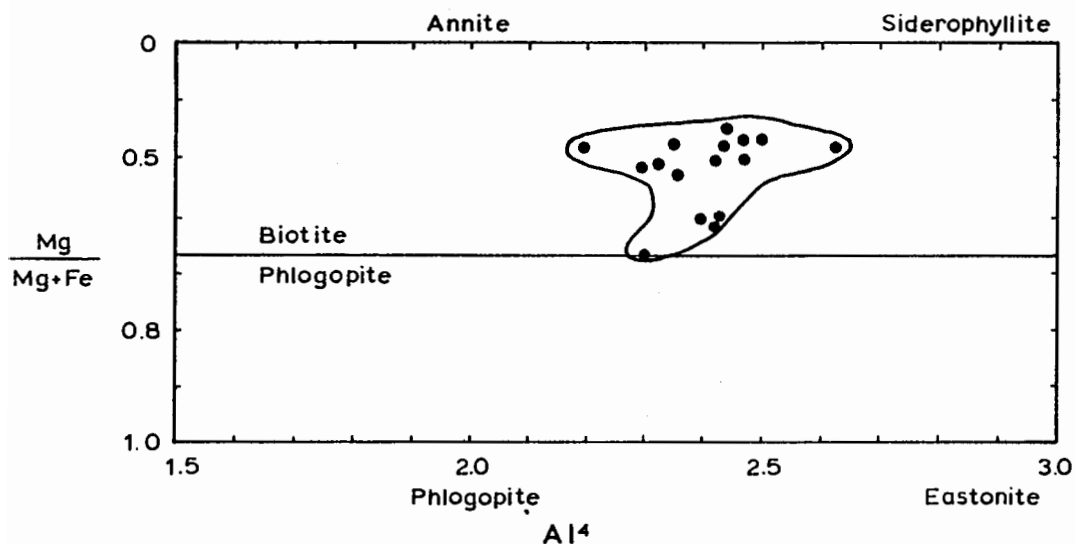
Τίτλ. 2. Κύρια ορυκτολογική σύσταση γνωστών από την περιοχή Κουρλού, Ν. Θάσου, Β. Ελλάδα.

Ορυκτά	K ₁	K ₃	K ₄	K ₅	K ₆	K ₇	K ₈	K ₉	K ₁₀	K ₁₂	K ₁₃	K _{13B}	K ₁₄	K ₁₅
Βιοτίτης		+	+	+	+	+	+	+	+	+	+	+	+	+
Μοσχοβίτης			+	+	+	+	+	+	+	+	+	+	+	+
Χλωρίτης		+	+	+	+	+	+	+	+	+	+	+	+	+
Πλανιόδιλαστο (λιγοκ. -Ανδεσιτης)		+	+	+	+	+	+	+	+	+	+	+	+	+
Ορθόδιλαστο														
Αλβέτης			+	+	+	+	+	+	+	+	+	+	+	+
Επίδοτο		+	+	+	+	+	+	+	+	+	+	+	+	+
Αμφίβολοι			+	+	+	+	+	+	+	+	+	+	+	+
Γρανάτες														
(Αλμανδίνης)	+													
Ασβεστίτης														
Απατίτης														
Αλλανίτης														
Τιτανίτης														
Ιλμενίτης														
Μαγνητίτης														
	+													
		+												
			+											
				+										
					+									
						+								
							+							
								+						
									+					
										+				
											+			
												+		
													+	
														+



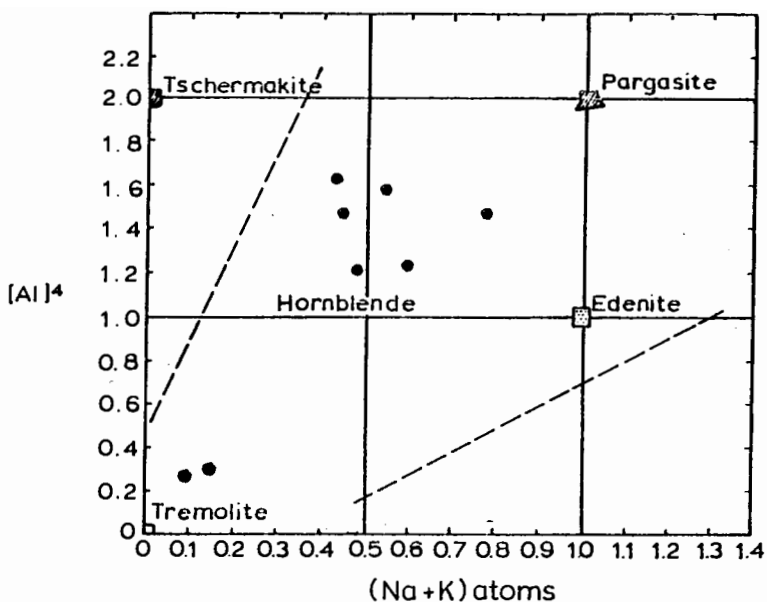
Εικ.2. Ταξινόμηση χλωριτών γνευσιακών πετρωμάτων από την περιοχή Κουρλού,
Ν.Θάσου (κατά Hey, 1954).

Fig.2. Classification of chlorites from gneisses of the Kourlou area, island
of Thassos. (after Hey, 1954).



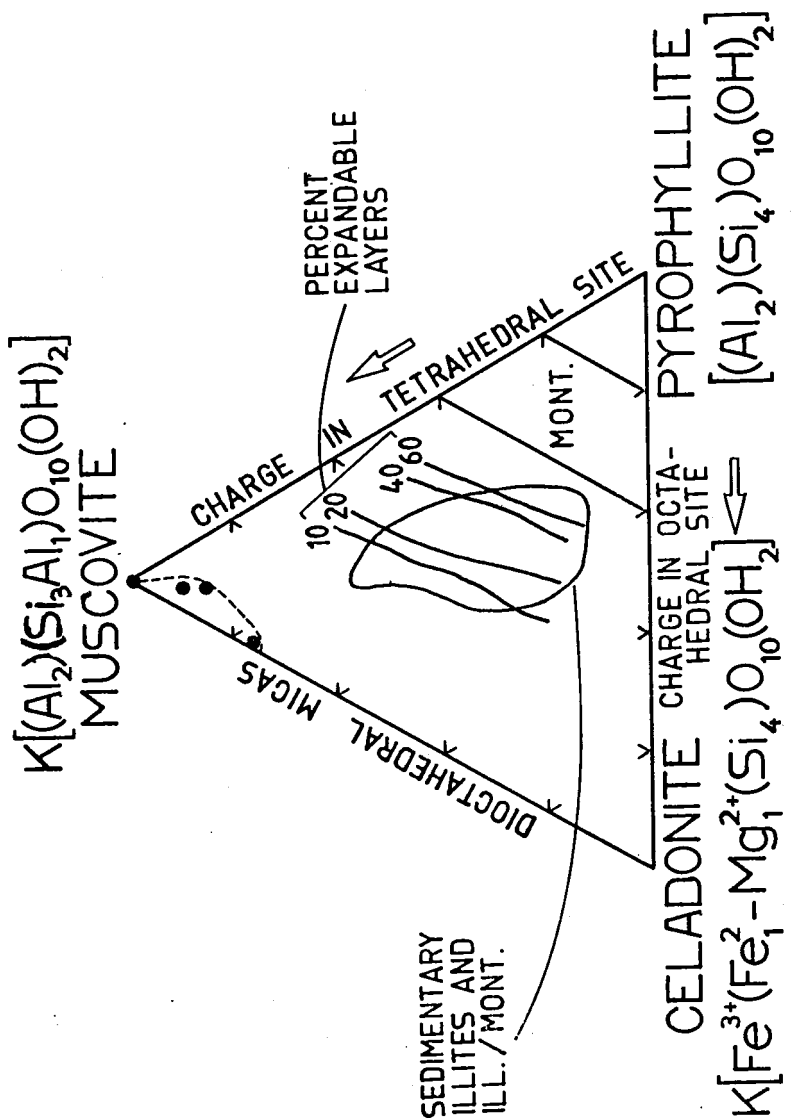
Εικ.3. Ταξινόμηση βιοτικών γνευσιακών πετρωμάτων από την περιοχή Κουρλού,
Ν.Θάσου .

Fig.3. Classification of biotites from gneisses of the Kourlou area, island of Thassos.



Εικ.4. Ταξινόμηση αμφιβόλων από αμφιβολιτικούς γνεύσιους της περιοχής Κουρλού, Ν.Θάσου (κατά Deer et al. 1966).

Fig. 4. Classification of amphiboles from amphibolite of the Kourlou area, island of Thassos. (after Deer et al., 1966).



Εικ.5. Ταξινόμηση μοσχοβιτών γνευστακών πετρωμάτων από την περιοχή Κουρλού,
Ν.Θάσου.

Fig.5. Classification of mica-schists from gneisses of the Kourlou area, island
of Thassos.

Διάγραμμα de la Roche

O de la Roche (1968) χρησιμοποίησε το διάγραμμα Al/3-K vs. Al/3-Na στο τριαδικό σύστημα Ab - An- Or για να προσδιορίσει τα πεδία τα οποία χαρακτηρίζουν συγκεκριμένους πετρολογικούς τύπους πρωτολίθων (Εικ.6).

Από την προβολή του χημισμού των πετρωμάτων του Πίνακα στο διάγραμμα αυτό προκύπτει ότι ο πρωτολιθικός τους χαρακτήρας είναι ηφαιστειακός και ιζηματογενής για τους γνευσίους και σπιλιτικός για τους αμφιβολίτες.

Διάγραμμα Leake

Από την προβολή του χημισμού των γνευσιακών πετρωμάτων στο διάγραμμα των μεγεθών Niggli, Si vs Mg, προκύπτει ότι κυριαρχεί ο ηφαιστειακός προμεταμορφικός χαρακτήρας στα πετρώματα αυτά (Εικ.7)

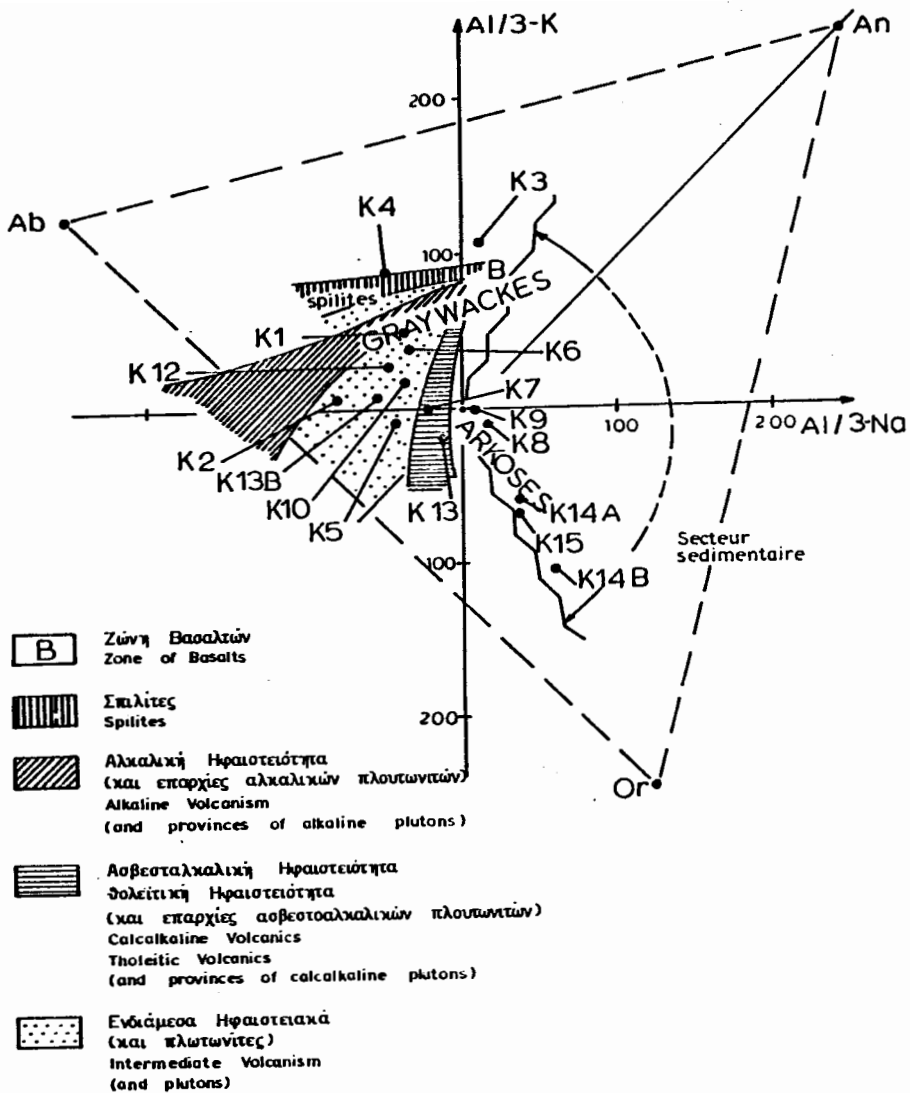
Διάγραμμα Garrels- Mackenzie

Χρησιμοποιώντας τα διάγραμμα $\log \frac{\text{CaO} \cdot \text{Na}_2\text{O}}{\text{K}_2\text{O}}$ και προβάλλοντας σ' αυτό τις αντίστοιχες τιμές των γνευσιακών πετρωμάτων, καταλήγουμε στα ίδια συμπεράσματα με αυτά που πρόκυψαν από τα παραπάνω διαγράμματα, δηλ. ότι ο χαρακτήρας των πρωτολίθων είναι κύρια ηφαιστειακός και ιζηματογενής (Εικ.8)

Τιμές D.F (Discriminant Function).

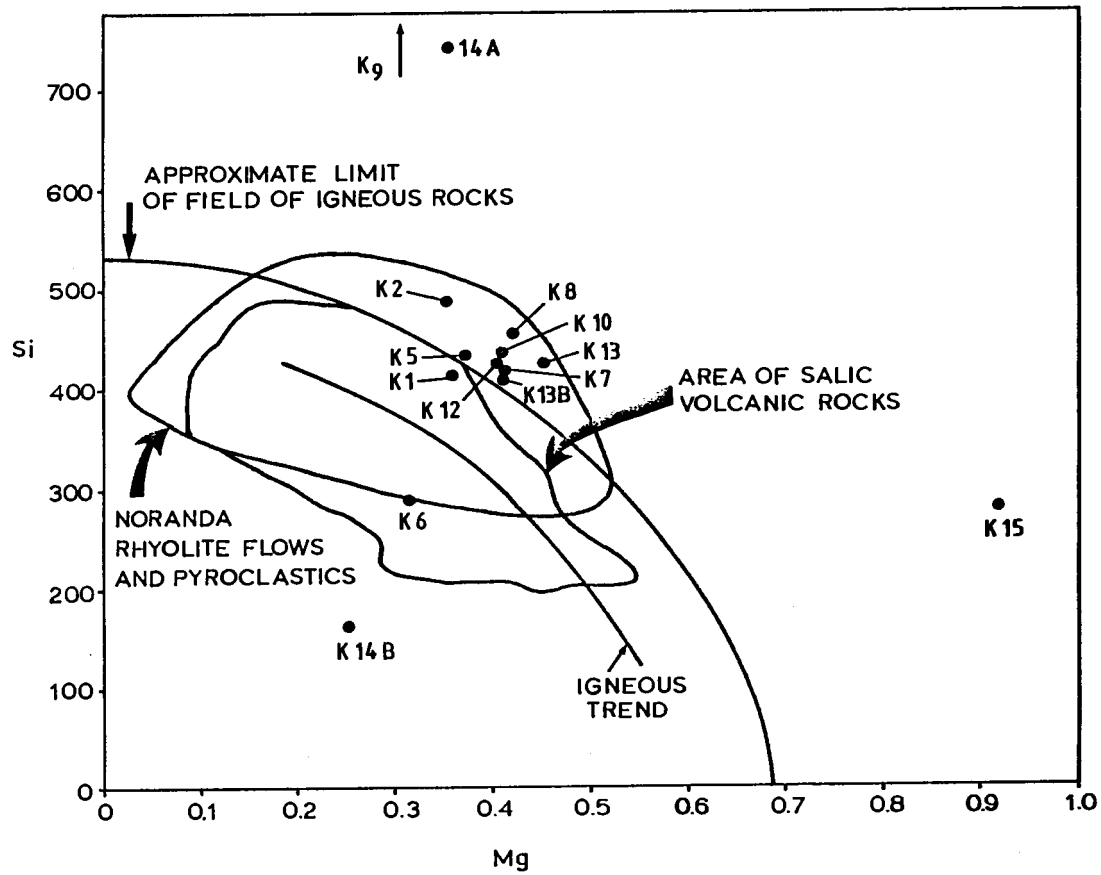
O Shaw (1972), προσδιόρισε την παρακάτω συνάρτηση, χρησιμοποιώντας την επί τοις εκατό σύσταση ορισμένων οξειδίων:

$$D.F = 10,44 - 0,21 \text{ SiO}_2 - 0,32 \text{ Fe}_2\text{O}_3 \text{ (ολ. σίδηρος)} - 0,98 \text{ MgO} + 0,55 \text{ CaO} + 1,46 \text{ Na}_2\text{O} + 0,55 \text{ K}_2\text{O}$$



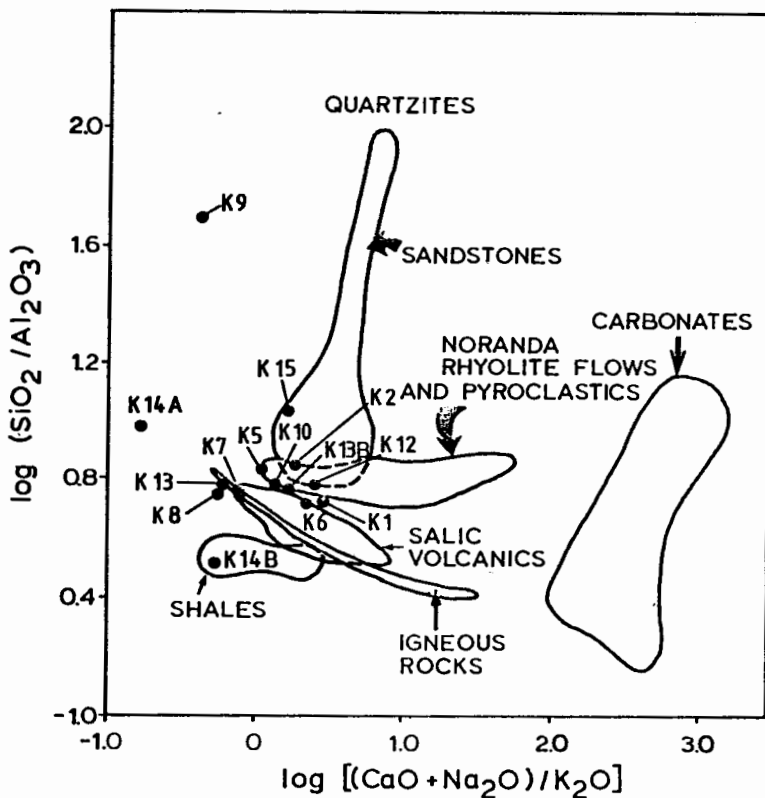
Εικ.6. Διάγραμμα διάκρισης εκρηξιγενών-ιζηματογενών πρωτολίθων κατά Roche(1968)

Fig.6. Discriminant diagram between igneous-sedimentary protoliths (after de la Roche, 1968).



Εικ.7. Διάγραμμα διάκρισης εκρηξιγενών-ιζηματογενών πρωτόλιθων κατά Leake
(Van de Kamp et al., 1976).

Fig.7. Discriminant diagram between igneous-sedimentary protoliths (after Leake,
Van de Kamp et al., 1976).



Εικ.8. Διάγραμμα διάκρισης εκρηκτιγενών - ιζηματογενών πρωτόλιθων κατά Garrels and Mackenzie (1971).

Fig.8. Discriminant diagram between igneous-sedimentary protoliths (after Garrels and Mackenzie ,1971).

Πιν. 3. Πρωτότυποι γνευσιακών πετρωμάτων της Ν. Θάσου, Β. Ελλάδα
όπως προκύπτει από τη χρήση κατάλληλων διαγραμμάτων.

Δείγμα No	Διαγράμματα			D.F
	de la Roche	Leake	Garrels-Mackenzie	
K ₁	Ηφαιστ. /Γραουβάνης	Ηφαιστειακό	Ηφαιστειακό	+ 1.9
K ₂	Ηφαιστειακό	Ηφαιστειακό	Ηφαιστειακό	+ 2.0
K ₃	Βασάλτης	-	-	-
K ₄	Βασάλτης (Σπιλίτης)	-	-	-
K ₅	Ηφαιστειακό	Ηφαιστειακό	Ηφαιστειακό	+ 0.33
K ₆	Ηφαιστ. /Γραουβάνης	Ηφαιστειακό	Ηφαιστειακό	+ 2.24
K ₇	Ηφαιστειακό	Ηφαιστειακό	Μαγμ./Ηφαιστειακό	+ 1.6
K ₈	Αρκόζης	Ηφαιστειακό	Ηφαιστειακό	- 0.24
K ₉	Αρκόζης	Ιζηματογενές	Ιζηματογενές	- 9.82
K ₁₀	Ηφαιστειακό	Ηφαιστειακό	Ηφαιστειακό	-1.28
K ₁₂	Ηφαιστειακό	Ηφαιστειακό	Ηφαιστειακό	+1.83
K ₁₃	Ηφαιστειακό	Ηφαιστειακό	Μαγματικό	+1.46
K ₁₃	Ηφαιστειακό	Ηφαιστειακό	Ηφαιστειακό	+2.64
K _{14A}	Ιζηματογενές	Ιζηματογενές	Ιζηματογενές	-3.66
K ₁₄	Αρκόζης	Μαγματικό	Ιζηματογενές	+2.40
K ₁₅	Αρκόζης	Ιζηματογενές	Ιζηματογενές	-1.12

Οι θετικές τιμές δείχνουν πιθανή εκρηκτική προέλευση, ενώ οι αρνητικές ιζηματογενή. Η πιθανότητα λάθους στην παραπάνω ταξινόμηση είναι 0,29. Οι τιμές D.F που υπολογίστηκαν για τα γνευσιακά πετρώματα φαίνονται στον Πίνακα 3, και σε γενικές γραμμές συμφωνούν με τα δεδομένα των άλλων διαγραμμάτων. Ήτοι, παρατηρούμε ότι για τα δείγματα K_1 , K_2 , K_5 , K_6 , K_7 , K_{12} , K_{13} , K_{15} (Πιν. 3), υπάρχει πλήρης συμφωνία για τον ηφαιστειακό χαρακτήρα των πρωτολίθων. Για τα δείγματα K_9 , K_{14A} , K_{15} φαίνεται μια πλήρης συμφωνία γύρω από τον ιζηματογενή προμεταφορφικό τους χαρακτήρα. Επίσης παρατηρούμε ότι για τα δείγματα K_{10} , K_8 , K_{14B} , υπάρχει μία ασυμφωνία που μπορεί να οφείλεται εν μέρει στην πιθανότητα λάθους στην ταξινόμιση ή στην μικτή ηφαιστειοιζηματογενή προέλευση των πρωτολίθων.

ΒΙΒΛΙΟΓΡΑΦΙΑ

REFERENCES

DEER W.A., HOWIE R.A. AND ZUSSMAN J., 1966. An introduction to the rock-forming minerals. Longman 528p.

DE LA ROCHE H., 1968. Geochimie-comportement différentiel de Na,K et Al dans les formations volcaniques et sédimentaires, un guide pour l'étude des formations métamorphiques et platoniques.

C.R. Acad. Sc. Paris 267, D, 39-42.

GARRELS R.M. AND MACKENZIE F.T., 1971. Evolution of sedimentary rocks. W.W. Norton, New York, N.Y. , 397P.

ΕΠΙΤΡΟΠΟΥ Ν. 1981. Γεωλογική χαρτογράφηση της ευρείας ζώνης Κουρλούς. - Κοιτασματολογικές παρατηρήσεις.- Σύνδεση με τις μεταλλοφόρες περιοχές Μαρλούς-Κουμαριάς. Εσωτ. 'Έκθεση Παρ/μα Ξάνθης.

ΘΕΟΦΙΛΟΠΟΥΛΟΣ Δ., 1982. Μελέτη σιδηρομεταλλευμάτων Θάσου. Αδημ. 'Έκθεση, 'Αρχείο ΙΓΜΕ, No 3564.

ΚΑΛΟΓΕΡΟΠΟΥΛΟΣ Σ.Η., ΕΠΙΤΡΟΠΟΥ Ν. ΚΑΙ ΠΑΡΙΤΣΗΣ Σ., 1986. ορυκτολογία, γεωχημεία και μεταλλογενετική εργητησία εστρωμένων οήξειδιο-σιτηρούχων σχηματισμών αιιός την περιοχή Κουρλού της Ν.Θάσου-Β.Ελλάδα.
Υπό δημοσίευση, 'Εκθεση ΙΓΜΕ.

PRABHU M.K. AND WEBBER G.R., 1984. Origin of quartzofeldspathic gneisses at Montauban - les- Mines, Quebec.
Can. Jour. Earth. Scie., 21 pp. 336-345.

ΡΩΜΑΙΔΗΣ Ι., 1983. Γεωλογικός-Κοιτασματολογικός χάρτης Δ. Θάσου-1:20,000

SHAW D.M., 1972. The origin of the Apsley gneiss, Ontario Can.Jour.Earth.Scie. 9 pp. 18-35.

STAMATELOPOULOU-SEYMOUR K. AND MACLEAN W.H., 1977. The geochemistry of possible metavolcanic rocks and their relationship to mineralization at Montauban-les-Mines, Quebec.

Can. Jour. Earth Scie., 14, pp 2440-2452.

VAN DE KAMP P.C., LEAKE B.E. AND SENIOR A., 1976. The petrography and geochemistry of some Californian arkoses with application to identifying gneisses of metasedimentary origin.

Journal of Geology, 84, pp. 195-212.

ΠΑΡΑΡΤΗΜΑ "Α"

Ορυκτοχημικές αναλύσεις Χλωριτών, Βιοτιτών,
Αμφιβόλων και Μοσχοβιτών από γνευσιακά
πετρώματα της περιοχής Κουρλούς, Ν.Θάσου,
Β.Ελλάδα. Για την θέση των δειγμάτων ανα-
φερθείτε στήγη Εικόνα 1

πίν. Α1: Μηχανογάνοσεις χλωματών από γνευστακά πετρόλινα
της N. Είσου, Σ.Ελλάδα. Αναλυτής I.C.P. Ουγγρία

ατ:	K ₁	K ₅	K ₇	K ₈	K ₉
6.6.2	26.38	25.82	25.50	26.57	26.70
7.2.2	-	0.12	0.10	0.13	0.23
5.1.2 ₂	17.71	20.53	19.80	18.65	19.74
5.6.2 ₂	21.92	22.90	27.25	24.34	22.53
6.1.2	6.73	0.54	0.40	0.21	0.30
6.2.2	14.51	14.11	11.39	12.23	14.46
6.6.2	-	-	-	0.69	-
6.7.2	6.12	-	-	0.88	0.61
6.8.2	-	-	-	-	-
7.2.2.2	63.67	64.02	64.64	63.40	63.75
Ισοτελείς αναλύσεως τη βάση 28 (C)					
6.1.2	6.147	5.615	5.655	5.803	5.712
6.1.2.2	1.853	2.385	2.345	2.137	2.265
6.1.2.2.2	2.657	2.676	2.83	2.713	2.78
6.1.2.2.2.2	-	0.019	0.010	0.036	0.039
6.1.2.2.2.2.2	3.251	4.165	5.054	4.422	4.117
6.1.2.2.2.2.2.2	0.134	11.62	11.74	11.69	11.71
6.1.2.2.2.2.2.2.2	4.674	0.100	0.975	0.036	0.056
6.1.2.2.2.2.2.2.2.2	-	4.575	3.766	4.381	4.705
6.1.2.2.2.2.2.2.2.2.2	0.052	-	-	0.022	-
6.1.2.2.2.2.2.2.2.2.2.2	-	-	-	0.025	0.003

Πίν. Α2: Μηχανολόγες Βιοτελέν από γνωστακά
πετώματα της N.GeoG., B.Eng.δρα.
Ινστιτούς Δρ. Γ.Οικούδηου.

ΚΩΔ	ΕΓ		Ε3		Ε5		Ε7		Ε9	
	1	2	3	4	5	6	7	8	9	10
Σ102	37.34	27.29	37.55	35.70	34.86	35.16	34.81			
Σ102	3.00	2.68	2.65	3.65	3.12	3.02	3.07			
Σ1253	16.62	16.09	14.95	16.73	16.37	16.44	16.05			
Σ10	16.12	17.30	15.23	16.30	21.01	20.33	20.05			
Σ10	5.54	0.30	0.16	0.35	0.76	0.65	0.64			
Σ10	10.50	10.73	14.12	8.84	7.54	8.11	7.63			
Σ10	-	-	-	-	-	-	-			
Σ125	8.41	0.25	0.13	0.02	0.12	0.10	0.11			
Σ125	2.92	9.59	9.52	9.65	8.25	8.93	8.75			
Σ1251	24.56	24.23	24.31	23.24	22.73	22.85	22.42			
Ινοτάκες ανατολικές και δύτικες (C)										
Σ1	5.642	6	5.692	6	5.553	6	5.548	6	5.549	6
Σ1IV	2.357	2.302	2.334	2.447	2.456	2.452	2.454			
Σ1V	9.518	0.565	0.32	0.62	0.593	0.603	0.582			
Σ1-2+	5.342	0.397	0.3	0.427	0.373	0.350	0.368			
Σ1-	5.527	2.202	5.585	5.752	5.525	5.641	5.628	5.571		
Σ1-	2.040	0.039	0.02	0.047	0.102	0.088	0.087			
Σ1-	0.069	2.456	3.197	2.050	1.785	1.907	1.884			
Σ1-	-	-	-	-	-	-	-			
Σ1-	0.022	2.008	0.271	0.038	1.912	0.005	1.922	0.036	0.059	0.033
Σ1-	1.967	1.866	1.874	1.916	1.812	1.788	1.781			2.00

Πτν. Α.Ο. Μηχανοδαλύσεις αυτοβελόνων από γνωστούς
πετροχημικούς της Η.Π.Δ.Ε.Ε., Β. Ελλάς
Αναλυτής Δρ. Γ. Ουγγανόπουλος

ΚΩΔ.	ΕΛΛΙΣ	Ε.3		Ε.4		Ε.5	
		1	2	1	2	1	2
Σ.1.2	42.22	44.07	46.34	44.21	42.85	43.16	55.42
Σ.2.2	0.48	0.58	0.32	0.41	0.53	0.30	-
Σ.2.3	11.70	9.26	10.05	11.99	15.06	13.49	2.35
Σ.3	17.02	16.45	14.74	17.13	14.59	13.84	1.71
Σ.5.5	0.47	0.55	0.31	0.30	0.23	0.20	0.03
Σ.7.0	9.55	10.23	12.14	10.81	10.97	11.56	24.13
Σ.7.1	15.42	10.77	11.46	10.91	11.36	10.67	13.24
Σ.7.2	3.50	1.92	1.73	1.96	1.52	1.60	0.57
Σ.7.3	0.58	0.14	-	-	-	0.23	0.43
Total	94.44	94.70	97.12	97.72	97.16	94.82	98.60
ΠΟΥΤΗΝΕΣ ΑΝΔΙΣΤΙΕΣ ΝΕ ΣΕΛΗΝΗ 23 (C)							
Σ.1	6.557	8	6.174	6.755	6.431	6.325	6.551
Σ.1.2	1.443	1.226	1.245	1.245	1.569	1.665	1.406
Σ.1.2*	0.628	0.579	0.482	0.483	0.96	0.895	0.045
Σ.1.3	0.555	0.067	0.034	0.044	0.059	0.059	-
Σ.2	3*	5.231	5.183	5.183	5.183	5.277	5.264
Σ.2	2.264	2.344	2.654	5	2.359	2.569	4.689
Σ.2*	2.211	2.117	1.103	1.031	1.604	1.744	0.194
Σ.3	0.062	0.076	0.037	0.037	0.036	0.041	0.001
Σ.4	0.753	0.572	0.466	0.552	0.427	0.466	0.128
Σ.5	1.705	2.475	1.174	1.790	2.278	1.700	2.236
Σ.6	0.017	0.027	-	-	-	-	0.039

Ψηφιακή Βιβλιοθήκη "Θεόφραστος" - Τμήμα Γεωλογίας, Α.Π.Θ.

Πν.Α. Χαροπανάκες ποσούτων από γνωστικά
περιήγηση της Ν. Κίσσα, Β. Σιάδας
Ινστιτούτος Λρ. Γ. Ουρανίου

Στιγμή	Κ7	Κ9	Κ12	Κ13			Κ15	
				2		3		
				1	2			
Σ1.2	46.79	47.40	45.67	46.46	45.64	46.82	46.64	
Σ2.2	0.46	0.18	0.85	0.60	0.96	1.11	0.71	
Σ1.2.3	30.18	30.42	31.47	28.91	28.11	28.53	30.26	
Σ2.0	4.56	2.18	3.05	3.62	4.63	4.55	4.47	
Σ2.7	0.05	-	-	-	0.11	0.09	0.31	
Σ2.9	2.52	2.15	1.05	2.23	1.93	1.70	2.20	
Σ6.0	-	-	-	-	-	-	-	
Σ3.2.9	0.24	0.34	0.40	0.35	0.32	0.29	0.18	
Η2.0	10.58	11.24	10.76	10.60	11.11	11.24	10.22	
Σ7.0.1	25.48	23.91	22.69	24.77	23.61	24.33	24.34	
Συνολικές αναφορές σε σέριζη 22 (%)								
Σ1.4	6.27	6.46	6.25	6.56	6.42	6.45	6.35	
Α1.1.4	1.32	1.54	1.75	1.44	1.58	1.55	1.63	
Α1.7.1	2.04	3.34	2.39	3.15	3.06	3.08	3.07	
Τ1.4	0.092	0.019	0.09	0.06	0.10	0.114	0.073	
Τ2.2+	0.335	4.47	0.246	4.03	0.335	4.11	0.525	
Υ2.	-	0.001	-	-	0.014	0.011	0.055	
Υ2.	0.204	0.436	0.22	0.452	0.40	0.352	0.445	
Οι.	-	-	-	-	-	-	-	
Υ2.	0.115	1.94	0.019	1.97	0.107	2.16	0.106	
Υ2.	1.526	1.955	1.955	1.955	1.83	1.83	1.83	
Κ.	-	-	-	-	-	-	-	